

HURC INFOS

Nr 22 OCTOBRE 85



La reproduction de tout document est strictement interdite
même pour usage personnel - le contrevenant s'expose au paiement
de quatre fois le prix de vente de qualité supérieure pour préjudice
moral.



SHF - UHF - VHF



1296 MHz Nouvelles stations QRV (additif à la liste de Michel du n° 18)

F1BJD 72

à rajouter également à la liste

F1CVU 76

F1FSK 74 (pas un truc?)

F1GXX 16

F5HV, F6HYE et la bande /P 74

F6CBC 33/64

F6BDN/P 48 (SSB + 2320 ?)

F6 ? 26 + 2320 mais des
en truc et pas de bonnes antennes

Dans les modifs grecs :

- F1FEN/P est aussi QRV sur 2320

85 à 90W ⚡ 2m!

- F6EZV n'est pas ^{encore} QRV sur 23cm mais ça ne va pas tarder

- F1IE s'attaque au 230Hz

- F1EIT/F6GRA et F6CIS sont QRV 23 mais pas
encore le GL4!)

- F1GTR, il est QRV? n'est plus actif

- F1FHQ/P est QRV mais pas actif!

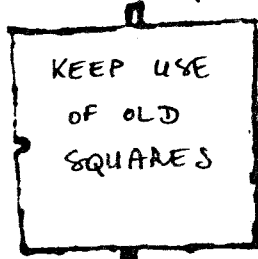
BALISE DU 77 enfin QRV! elle transmet provisoirement F6KCF 8114E
(ce n'est pas tout
à fait le vrai
locator)

1296,698 F1 2W_Alford slot (2λ) 150m ast

Balise du 33

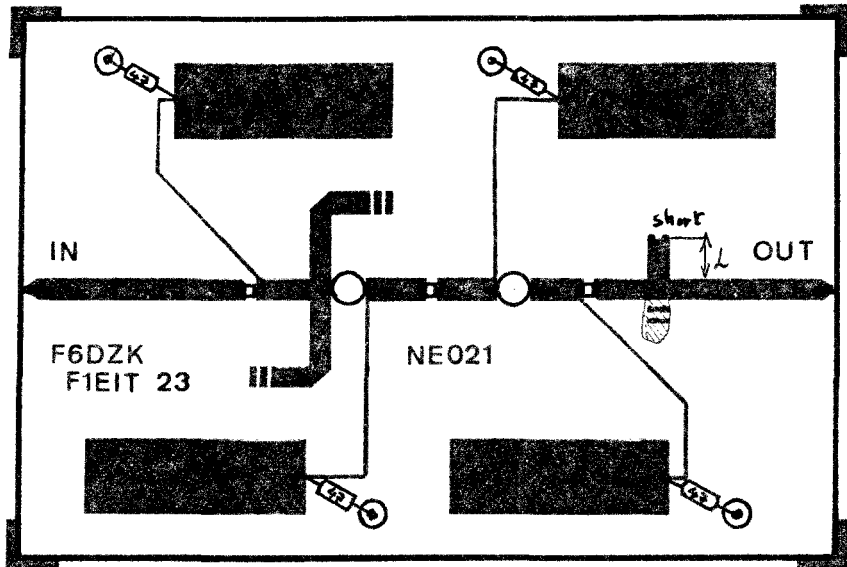
1296,948 ZEΦSJ?

18W 2 big-wheels



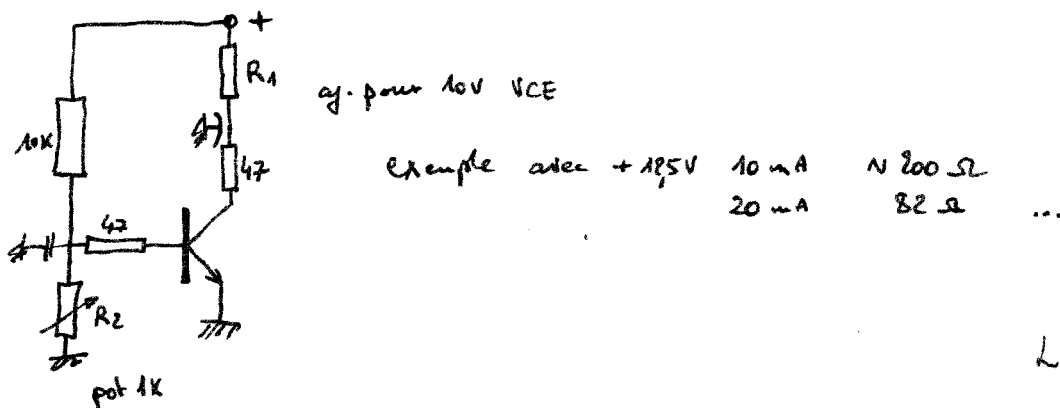
AMPLI 1296 MHz 2x NE02137 (suite du n° 20)

12



Les résistances de 47Ω (la valeur n'est pas vraiment très critique) servent à stabiliser les transistors aux fréquences basses et pas à faire joli !
Avis à ceux qui les ont supprimées sur les MRF901 ... !!

Le stub en court circuit limite un peu la bande passante ; la compensation de l'accord se fait par un petit stub en circuit ouvert en face.

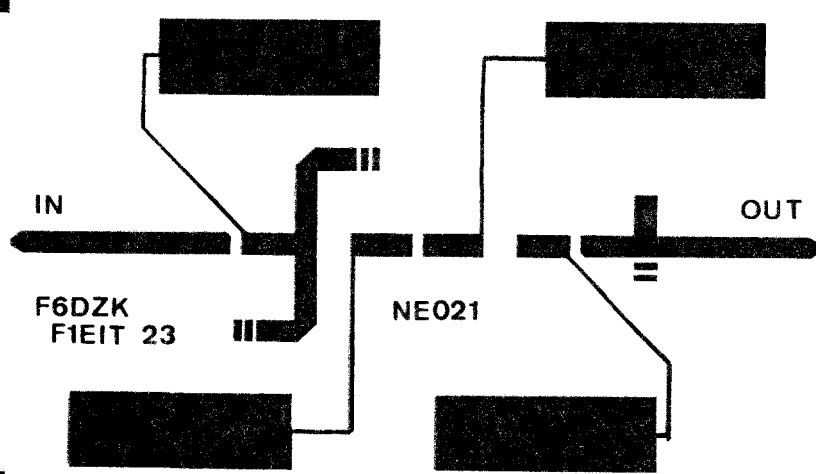


$L \approx 8\text{mm}$

changer le masque
ou rajouter un bout de cuir

avec un court-circuit
assez long on
juge de peu
de gain mais
à 638 MHz monte
encore plus 15%

D'en rallonger le co



(3)

Une idée lumineuse pour les caméras Mitsubishi.

Tout à fait par hasard j'ai trouvé que les caméras Mitsubishi (FDO...) 10 GHz étaient sensibles à l'éclairage. En masquant plus ou moins la lumière du soleil arrivant sur la caméra cela shiftait la fréquence de plusieurs kilohertz. Le masque étant fait avec la main je pensais tout d'abord à une perturbation des champs de pôle par les nombreuses ouvertures. Mais le fait de masquer la lumière avec une feuille de papier donnait les mêmes résultats. Pour confirmer le fait j'introduisais une led $\phi 3\text{mm}$ près de l'orifice proche du récepteur diélectrique.

Avec une diode L.E.D rouge en faisant varier la couverture on peut shifté la fréquence d'environ - 50 kHz max (la fréquence du DR80 descend).

Avec une diode L.E.D jaune on arrive à faire shifté la fréquence d'environ + 10 kHz max (la fréquence du DR80 augmente).

Les deux écrits n'ont évidemment que de valeurs relatives car j'ai aucune certitude que :

- la position des deux LED soit le même dans les deux cas.
- le niveau d'éclairage émis soit le même.
- les deux L.E.D soient du même modèle.

Simplement l'idée peut être intéressante pour faire de la modulation NBFM ou pour faire un AFC fin.

S'ils vous avez la possibilité d'essayer avec d'autres LED (vertes, bleues jusqu'il peut qu'il y en a maintenant) les publications de résultats seront intéressantes...



EU POUR VOUS

QST September 1985

WORLD RECORD ON 47 GHz: SOME DETAILS

Last month in Up Front in *QST* we reported a new microwave world distance record. Two Swiss operators, Erich Zimmermann, HB9MIN/P, and Arnold Sporbeck, HB9AMH/P, set the mark on January 13 of this year with a 53-km QSO on 47 GHz. This contact is the latest in a series of 17 G

... oscillators and numerous receiving ...
ers. Dish antennas were used at both ends. Of particular interest is HB9AMH's antenna—reportedly made using a lampshade purchased from a Swedish furniture company!

25 Years Ago

September 1960

- The QSO between W1BU and W6HB made communications history—because it was on 1296 Mc. and signals were bounced off the moon! Antenna and equipment requirements were so large that only organized groups could have done the job—Rhododendron Swamp V.H.F. Society (W1FZJ, prime mover) and the Eimac Radio Club. Key to success was the 100-cycle bandwidth; imagine that kind of stability on 1296!
- War surplus has been around for 15 years, yet some items are still being found useful for new ham applications. W1HDQ shows us his conversion of the APX-6 radar identification unit to a 1215-Mc. transmitter-receiver at minimal cost.
- RCA's new "Nuvisitor" is excellent for 2-meter receiver work, says W1HDQ, with a low noise figure, exceptional ruggedness and—best of all—a moderate price.

30. Weinheimer
UKW Tagung

SCRIPTUM der VORTRÄGE

Inhaltsverzeichnis

	Seite	
J. BEIER	Das MPA-Mediensystem Mikrocomputertechnik zur Aus- und Weiterbildung	1
H. BENSCH	Backfire Antennen – Eine kurze Übersicht –	14
G. BORCHERT	Frequenzvervielfacher mit Phasenregelschleife	21
J. DAHMS	Moderne 10 GHz Bausteine in Platinentechnik, Transverterkonzepte für SSB-Betrieb	31
U. DRÖSE	Digitale Frequenzmeßverfahren für den Mikrowellenbereich	39
J. FEHRENBACH und E. ZIMMERMANN	47 GHz eine theoretische Betrachtung und praktische Hinweise zum Selbstanbau	47
D. FISCHER	Gittermast-, Parabolspiegel- und Gehäusebau	64
E. FRANKE	Packet Radio, Theorie und Praxis im Amateurfunk	80
J. GRIMM	Vergleich der Modulationsverfahren AM und FM bei der Betriebsart Amateurfunkfernsehen (ATV)	89
Dr. R. HEIDEMANN	Gläsfastertechnik, Kommunikationsmedium der Zukunft	100
K. HUPFER	Schaltungstechnik von VHF/UHF Gegenakt-Leistungsverstärkern	105
Dr. R. MILKER	Moderne Leiterplattenfertigung	109
H. MÖSTL	Kontest und Diploma in den Betriebsarten der Bild- und Schriftübertragung	131
R. NEUBERT	Modem und Akustikkoppler – Grundlagen –	156
F. SCHMEHR	Theorie und Praxis des Pin-Dioden-Schalters mit ausführlichen Dimensionierungsgrundlagen	167
G. SCHWARZBECK	Rauscharme VHF-, UHF- und SHF-Antennenverstärker, Eigenschaften und Probleme	193
H. J. WEHLE	Amateursatellitenfunk, Bestandsaufnahme und Prognose	202
K. WEINER	Ausbreitungsmeßungen im 70 cm Band, Problemstellungen, Empfangsleistung, erste Ergebnisse	216
J. WOLLMERBER	NBB auf 10 m 1. ZF für SHF und UHF-Band Möglichkeiten QRV zu Werden	219
K. ZIELSKI	Der mechanische Fernschreiber	221
M. PLÖTZ	Ein scalarer Netzwerkanalysator für den Bereich von DC bis 18 GHz – DAS Projekt für Funkamateure –	235

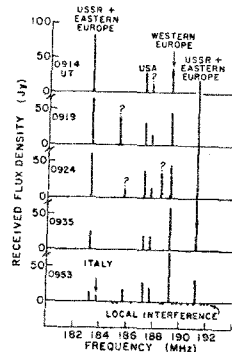


IEEE TRANSACTIONS ON ELECTROMAGNETIC COMPATIBILITY, VOL. EMC-27, NO. 3, AUGUST 1985

The Near-Space Unwanted RF Environment as Observed Using VHF Lunar Reflections

W. T. Sullivan, III, and S. H. Knowles

RADIO SIGNATURE OF EARTH
AS REFLECTED FROM MOON
21 DEC 1978



Ein 10 GHz-SSB-Transverter in Bausteinform

- moderne Amateurfunkkonzeption –

von Jürgen Dahms, DC0DA
und Hans-Jürgen Meise, DK2AB

Inhaltsverzeichnis

Vorwort	
Blockschaltbild des 10 GHz-Transverters	3
Bauteilübersicht	4
Zusammenstellung der Meßmittel	4
Bausteinkurzbeschreibung	5
Bauteileliste	9
Frequenzverdoppler 2,5 + 5 GHz	11
Resonatorkreisfilter	11
Frequenzverdoppler 5 + 10 GHz	13
Gegentaktendemischer	14
Einkantempfangsmischer	16
Ein- zwei- und dreistufiger Verstärker	18
Aufbau einer Transistormixschaltung	20
Abgleich des Sendemischers	22
Stückliste des Sendemischers	22
Die GaAs-FET Spannungsversorgung	23
Hornstrahler für Mikrowellen	25
Basic-Programm zur Dimensionierung	27
von Hornantennen	27
JKEA® Parabolspiegelantenne	33



MICROWAVES & RF • August 1985

Ionospheric modification spawns new propagation — Frank T. Djuth

MICROWAVE JOURNAL • SEPTEMBER 1985

Achieving Maximum Dynamic Range in a Modern Receiver

Donald H. Steinbrecher, Steinbrecher Corp.

Design Analysis of Gain-Optimized Helix Antennas for X-Band Frequencies

K.K.S. Jamal and Renu Vakil,
Kashmir University, India

Wideband, Unequal Split Ratio Wilkinson Power Divider

Pradeep K. Wahi, Loral Advanced
Technology Labs

DUBUS 2/85

DUO BAND TRANSCEIVER 2M&70CM VON DL7QY VORWORT

(PART 1 VFO)

DUBUS 3/85

DUO BAND TRANSCEIVER 2M&70CM VON DL7QY TEIL 2 144 MHZ HIGH POWER AMPLIFIER (2KW) BY ONSFF

1.3 GHZ GAAS FET TRANSVERTER MODULE BY OE9PMJ

IEE Proceedings - A Oct. 85

Special issue on historical radar



1) Introduction.

La construction d'un atténuateur de faible coût,néanmoins utilisable en VHF,UHF nous a semblé un projet digne d'intérêt (calibration de récepteurs,mesures de bruit ,de spectre,diagramme de rayonnement d'antenne,etc.....).

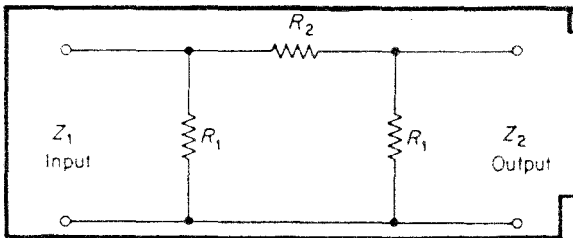


fig.1

$$R_1 = Z \left(\frac{V+1}{V-1} \right) \quad R_2 = Z \left(\frac{V^2-1}{2V} \right)$$

V = input voltage divided by output voltage

2) Réalisation pratique.

Diverses configurations étaient possibles, celle en PI nous a parue la mieux adaptée à notre cas. La figure 2 montre qu'avec 6 cellules il est possible de couvrir de 0 à 44 dB par pas de 1 dB , le manque de place dans le boîtier nous ayant arrêtés là! (figure 3).

Les commutateurs utilisés sont du modèle à glissière JEANRENAUD (Pub gratuite!!!). Ils sont implantés sur une plaque d'époxy cuivré 16/10 SIMPLE FACE (côté masse vers les commutateurs (figure 4)). 6 trous sont percés au travers de l'époxy et bien sûr fraîsés pour enlever le contact avec la masse. Ne pas oublier de réaliser 4 soudures entre les coins de chaque commutateur et le plan de masse.

Le reste de l'implantation (résistances et microstrips) se fera au verso (figure 5). Un petit rivet fera la connection entre le plan de masse et les résistances. Les microstrips de connexion entre chaque cellule sont faits avec du feuillard de cuivre auto-collant de 2,8 mm de large (le circuit imprimé est bien sûr possible). La position directe sur les commutateurs est câblée avec du fil 8/10 (peu d'intérêt à faire un microstrip si court pour une bande passante de quelques centaines de MHz !).

Valeurs des résistances en fonction de l'atténuation désirée.

-- dB --	R1 (calcul)	R3 (réel)	(calcul)	(réel)
1	869,4	825	5,76	10//11
2	436,21	422	11,61	11
3	292,4	287	17,61	17,8
6	150,47	147	37,35	38,3
12	83,54	82,5	93,24	90,9
20	61,11	61,9	247,5	237

Un dernier point avant les résultats: les résistances utilisées sont de type métalfilm 1%, 1/8W (stabilité en température , bonne performance en UHF du moins pour des valeurs inférieures à 100 Ohms (voir performances cellule 20 dB)). Pour ce dernier cas, le couplage

Si les équations à utiliser pour la conception d'un tel appareil se trouvent facilement dans plusieurs ouvrages (figure 1), les résultats de mesures entre 4 et 500 MHz sont déjà plus rares dans la littérature amateur. Nous avons donc voulu simplement ,par cette description , donner un point de repère au constructeur éventuel.

$$R_1 = Z \left(\frac{V+1}{V-1} \right) \quad R_2 = Z \left(\frac{V^2-1}{2V} \right)$$

V = input voltage divided by output voltage

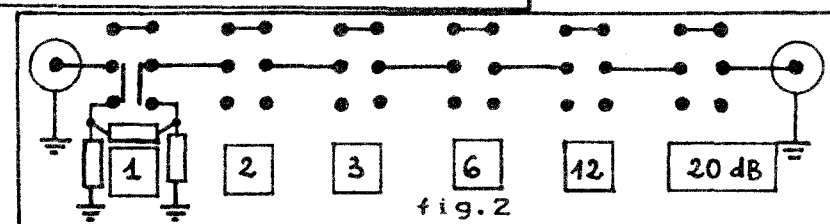


fig.2

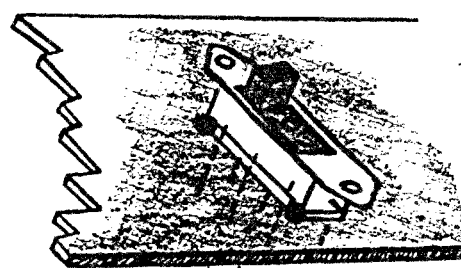
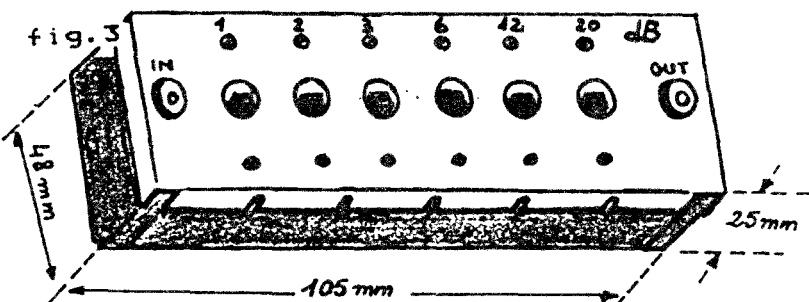


fig.4

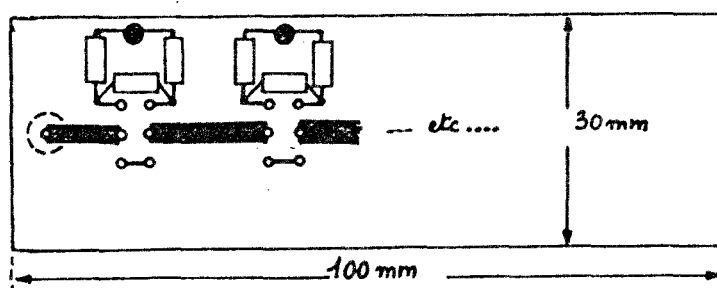


fig.5

dans le commutateur n'est pas négligeable, de plus une telle valeur d'atténuation est ,en général,fractionnée afin d'éviter de tels problèmes (non réaliser ici à cause de l'encombrement supplémentaire).

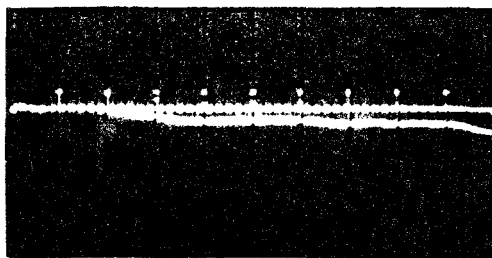
(6)

3) Résultats.

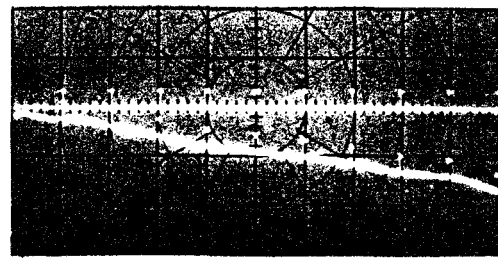
Les diverses atténuations ont été comparées à l'atténuateur interne d'un analyseur de réseau Hewlett Packard HP8754a.
 Pour toutes les figures (sauf abaque de SMITH):

1 dB/division
 50 MHz/division
 balayage 4 à 500 MHz
 marqueurs tous les 50 MHz

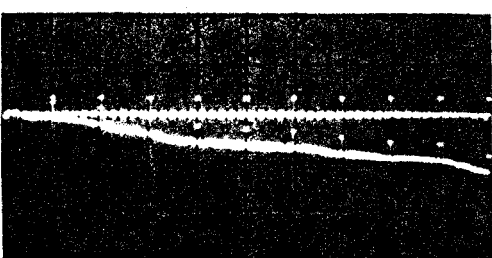
73' à tous



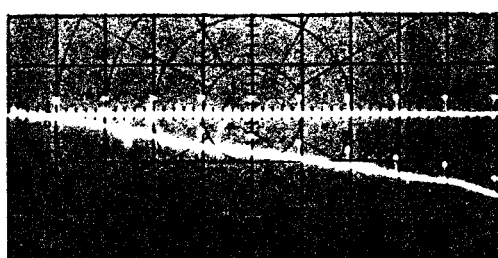
HP8754a en direct
(référence)



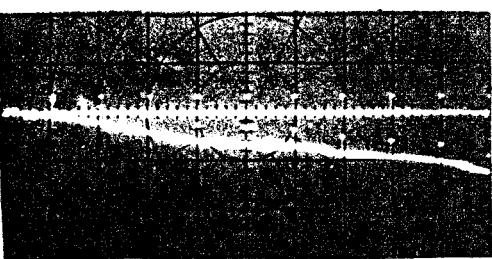
position 6 dB



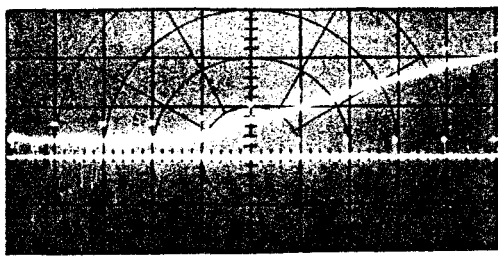
position 0 dB



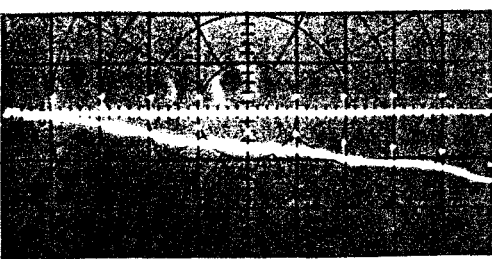
position 12 dB



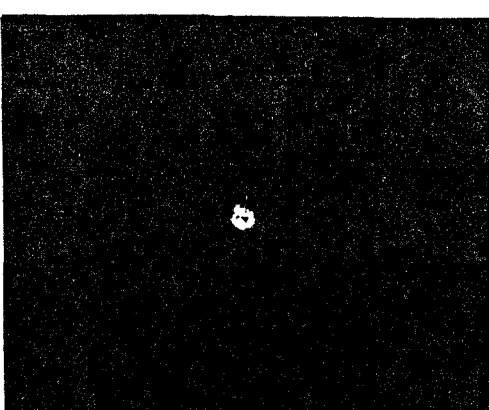
position 1 dB



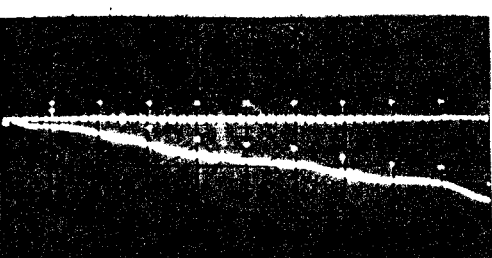
position 20 dB



position 2 dB



ROS position 0 dB
(4-1000 MHZ 1,2 à 1 maxi)

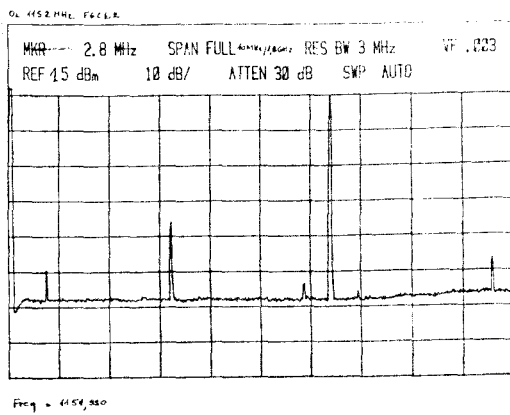


position 3 dB

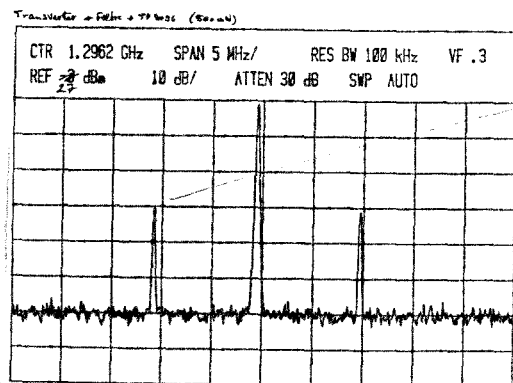
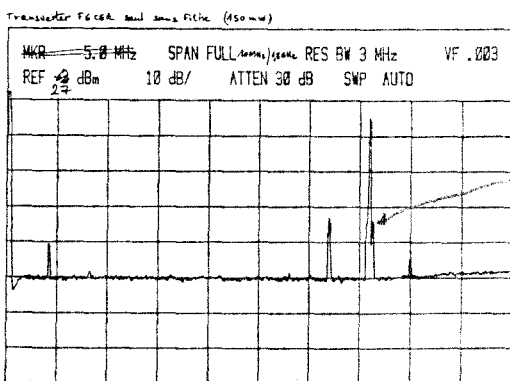
QUELQUES MESURES SUR UN TRANSVERTER FCCER-BERIC 1286 MHz

F1EIT juin 85 (Merci à FGRA-FAFH-FCCER.)

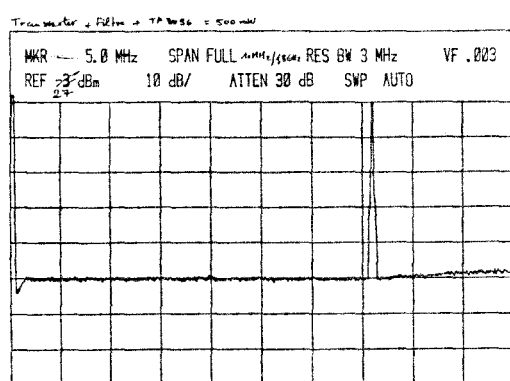
(7)



Si vous avez la chance d'avoir un oscilloscope qui n'accorde pas à de très hautes fréquences, qui ne décode pas de la fréquence du quartz par intermittence (le jour de la propag) - etc, voilà ce que ça donne c'est pas vraiment mauvais, c'est assez surprenant dans le cas contraire essayez un montage avec un tampon sur l'oscillateur (TP1FHE ou un Hukk du début pour exemple) dans tous les cas un filtre à 2 cavités (VHF com) n'est pas superflu.



à Froid
tendance à
démarrer à
500 mW sur
cette fréquence
(Sans modulation!!)



→ mélange TX : c'est horribile

voilà ce qui se passe en fait vu de près - il faut d'coupler correctement le transistor de polar (PNP) sur le final du transverter - ce qui n'est pas ce qu'il y a dans le schéma ni fourni dans le kit

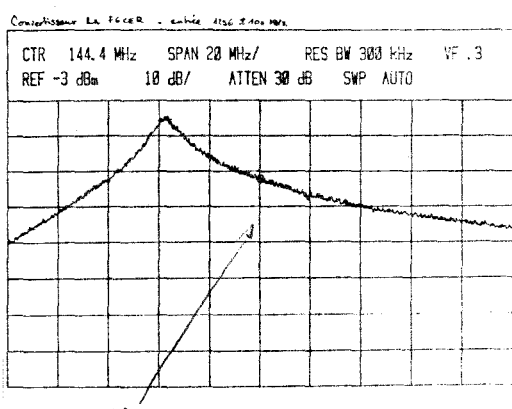
→ Emission : transverter (il sort 150mW en fonctionnement normal et qui paraît plus normal par rapport aux chiffres ANDONNÉS !) + Filtre VHF com + TP3036 (BERIC) dans le montage FCCER (supprimer le clip de 9,9pf déplacé !!)

MÉLANGEUR RECEPTION :

1286 → 144 N 20 dB avec le noyau sorti complètement (max vers 130 MHz : 26 dB)

il paraît que ce n'est pas le bon Toko ??

Facteur de bruit At 45 dB - Fuites OL : -3 à 4dBm sur la FI !!
et attendez ce n'est pas fini!



Fuite OL sur la RF : -29 dBm si vous n'avez pas de préampli
on doit vous entendre sur 1152 Hz

Mais le meilleur : la fréq RF sur la FI : le 1296 MHz sur la sortie 144 est 7 dB plus fort qu'à l'entrée ! (c'est un mélangeur ou un préampli ?) (exemple -30dBm RF donnent -23dBm sur la FI)

ON voit que la réception n'est pas vraiment stérile ! et on comprend mieux les problèmes en présence de signaux forts hors bande.

PAR CONTRE j'ai eu l'occasion de faire quelques essais sur la nouvelle tête HF réalisée par le mage de Massat en juillet :

NOUVELLE TETE RECEPTION 1296 MHz FECER Sans date décrite
bientôt

un 3SK124 en ampli et un en mélangeur - Un montage amélioré
dans le genre de ce qui avait été décrit par TA2HWG (VHF commun 4/83)
et DB3YZ (TVA 55/84) - belle réalisation dans un Schubert 35534228

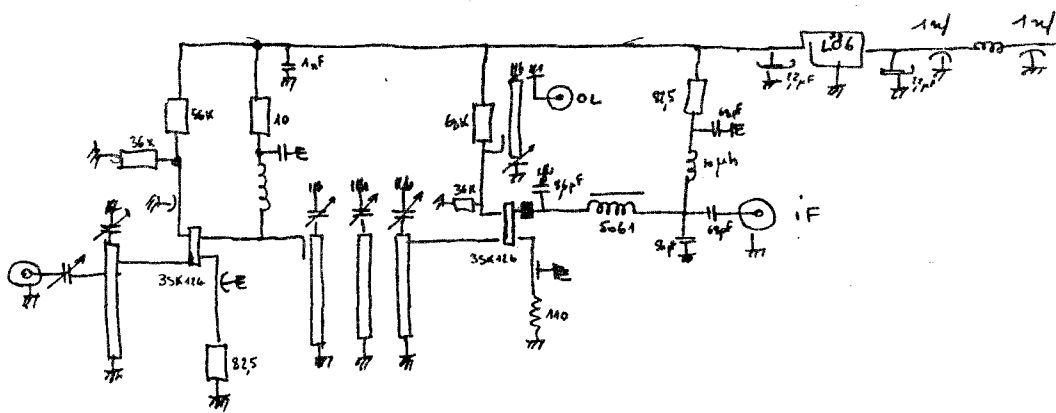
L'optimum semble être vers 10 mW OL → 9/10 dBm en dessous de saturation
c'est sans doute du au circuit d'alimentation OL.

Réglé au max le gain A 24 dB

Lo leakage IF : -20dBm
RF \approx -42dBm

$$\text{RF leakage} \quad \text{IF : } \% - 36 \text{ dBc/IF} \\ (\text{input } -35 \text{ dBm})$$

dans ces conditions le Facteur de bruit du proto est de 2,8 dB



- être comparatif un SSB K2001S

No leakage RF -40 dBm

RF leakage -67 dBc/1F (-30dBm input)

$$\left(\begin{array}{c} \text{out} = 19 \text{ dB} \\ \text{NF } 2,9 \text{ dB} \end{array} \right)$$

avec des CF 300 ça
fait une diaboliqe!
... ELEMENT !

(9)

Compte - rendu de visite aux établissements TONNA
25 Octobre 85

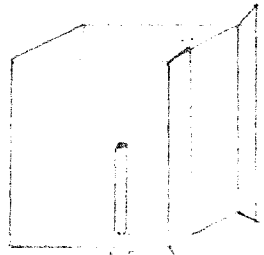
En bref...

Antenne 55 éléments 1296 MHz

- 1) Ci-joint les diagrammes de rayonnement relevés sur le nouveau banc automatique de mesures mis au point par F5SE (logiciel sur VICTOR)

F5SE affiche un gain de 3,5 dB par rapport à une 23 éléments.

- 2) Mise au point d'une "long Yagi" sur 2,3 GHz en innovant un nouveau système radiateur : cavité rayonnante au lieu d'un troncasse difficilement reproductible à ces fréquences élevées - Il espère appliquer ce même principe (monopôle rayonnant) aux antennes 1296 MHz (réduction du coût de fabrication)



ANTENNES TONNA S.A. 132 Boulevard Dauphinet 51100 REIMS FRANCE

DIAGRAMME DE RAYONNEMENT MESURE: 55 ELEMENTS LONG YAGI
FREQUENCE: 1296.0 MHz PLAN: E

ANGLE D'OUVERTURE A -3dB : 2 x 5.99 deg.

ANTENNES TONNA S.A. 132 Boulevard Dauphinet 51100 REIMS FRANCE

DIAGRAMME DE RAYONNEMENT MESURE: 55 ELEMENTS LONG YAGI
FREQUENCE: 1296.0 MHz PLAN: H

ANGLE D'OUVERTURE A -3dB : 2 x 5.97 deg.

DIAGRAMME DE RAYONNEMENT CALCULE: ANTENNE 55 ELEMENTS LONG YAGI

FREQUENCE: 1296.0 MHz PLAN: E
GAIN CALCULE : 21.25 dB IRR. RAPPORT AU. /ARR.: 24.95 dB
ANGLE D'OUVERTURE A -3dB : 2 x 5.26 deg.

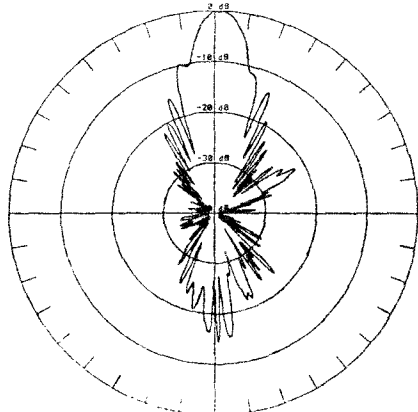


DIAGRAMME DE RAYONNEMENT MESURE: 2 x 55 ELEMENTS, ESP. = 4.53 Lambda
FREQUENCE: 1296.0 MHz PLAN: E

ANGLE D'OUVERTURE A -3dB : 2 x 2.55 deg.

DIAGRAMME DE RAYONNEMENT MESURE: 2 x 55 ELEMENTS, ESP. = 4.00 Lambda
FREQUENCE: 1296.0 MHz PLAN: H

ANGLE D'OUVERTURE A -3dB : 2 x 2.75 deg.

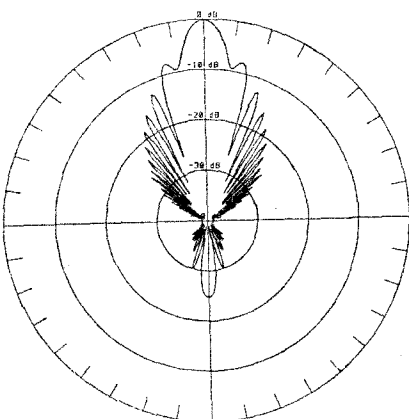
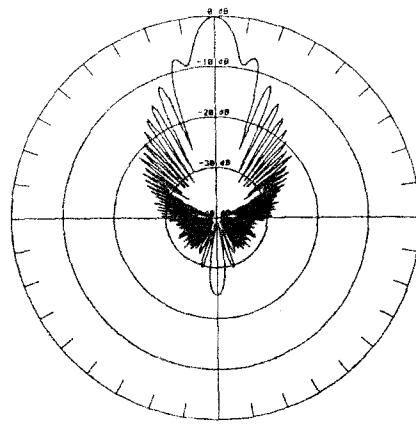
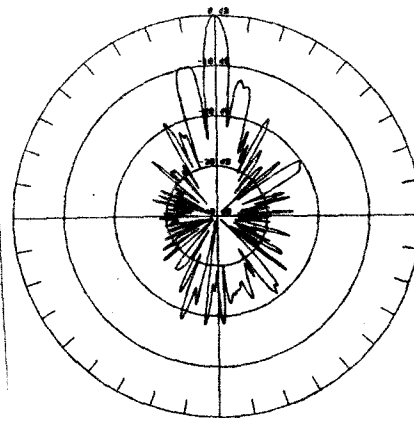
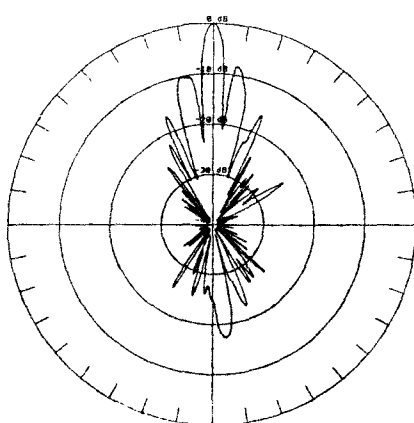


DIAGRAMME DE RAYONNEMENT CALCULE: ANTENNE 55 ELEMENTS LONG YAGI

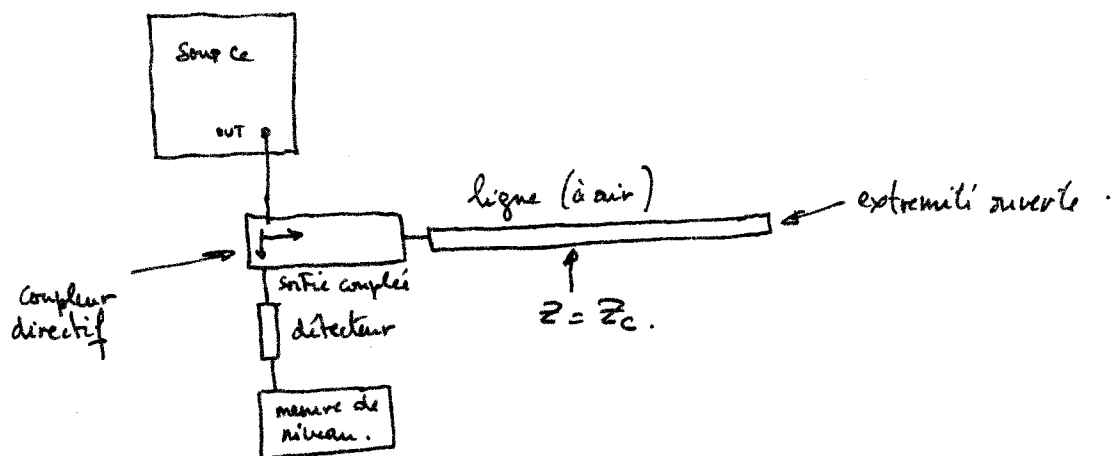
FREQUENCE: 1296.0 MHz PLAN: H
GAIN CALCULE : 21.25 dB IRR. RAPPORT AU. /ARR.: 24.72 dB
ANGLE D'OUVERTURE A -3dB : 2 x 5.41 deg.



la mesure du T.O.S sur une source émissive pose quelques problèmes. Il est impossible d'utiliser les méthodes habituelles comportant un générateur, un pont et un détecteur.

Il est possible pour éviter le T.O.S d'une source émissive de faire la mesure de T.O.S équivalent. Rien ne permet à priori d'affirmer que l'impédance de sortie d'une source quelconque est soit connue avec précision, soit constante dans une certaine gamme.

Pour la mesure du T.O.S équivalent on fait le montage suivant:



Le principe de la mesure est le suivant:

Le signal émis par la source parcourt la ligne de sa longueur, arrive à l'extrémité ouverte et est réfléchi vers la source. Si le signal réfléchi au niveau du connecteur de sortie de la source rencontre une impédance adaptée aucun signal n'est alors "re-réfléchi". Plus la désadaptation est grande plus il y a de signal "re-réfléchi". Ce signal va soit s'ajouter soit se soustraire du signal incident provenant de la source. Le vanadium résultante est alors affiché sur l'appareil de mesure de niveau.

Une précision de mesure est nécessaire à observer: Il faut que le niveau de sortie de la source ne soit pas trop élevé pour pouvoir rester dans la partie quadratique de la courbe de détection du cristal.

On note les valeurs min et max obtenues sur l'appareil de mesure. Le T.O.S équivalent de la source est donné par la fig 1.

Bib: Notice TIP tiroirs n° 862 xx.

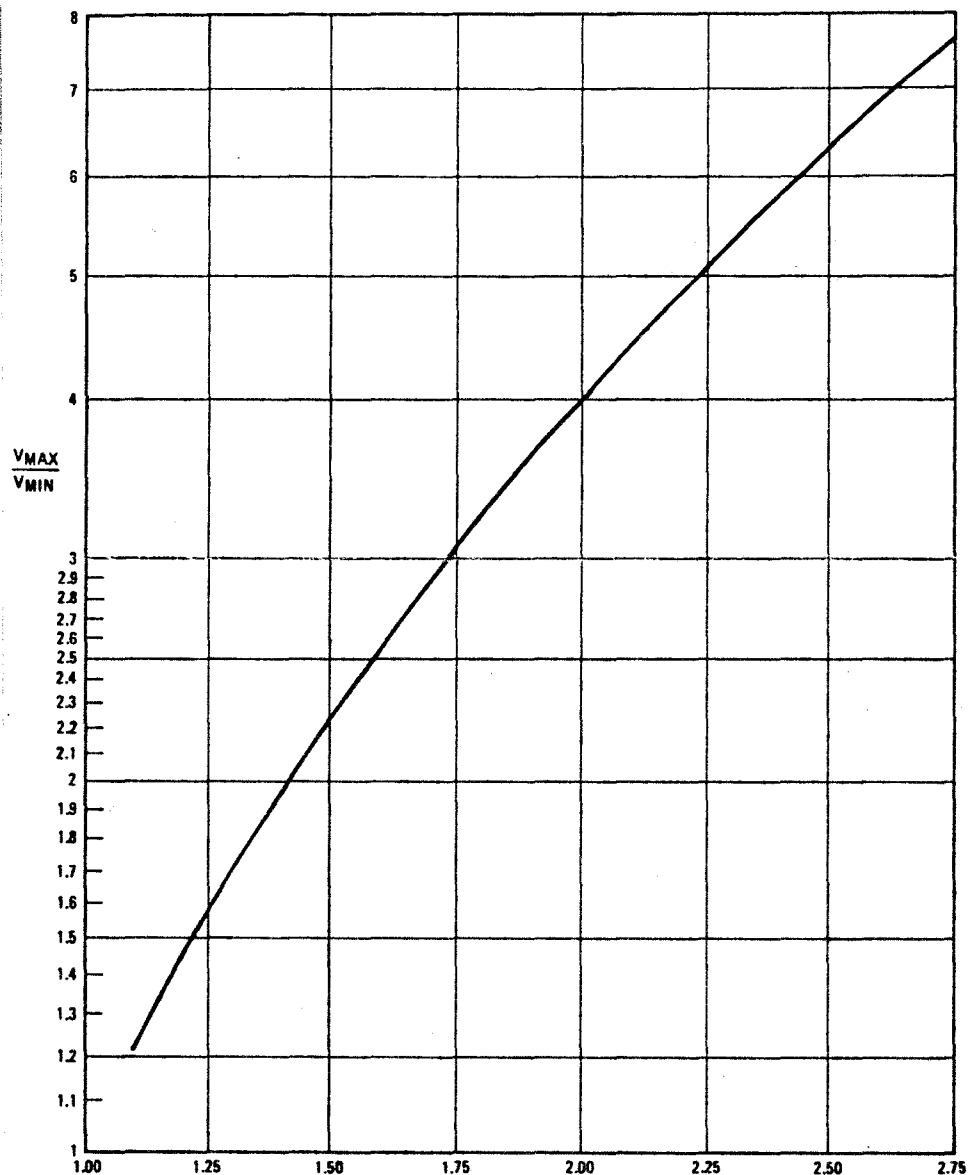
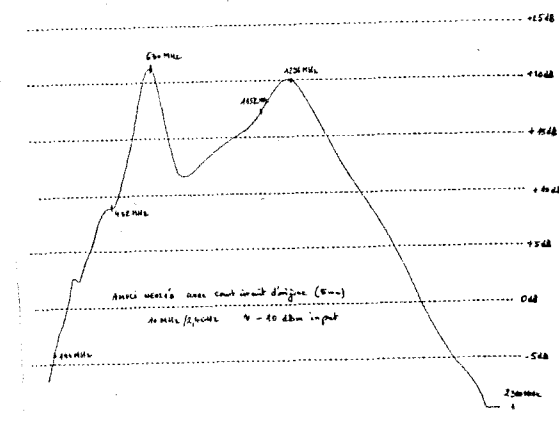
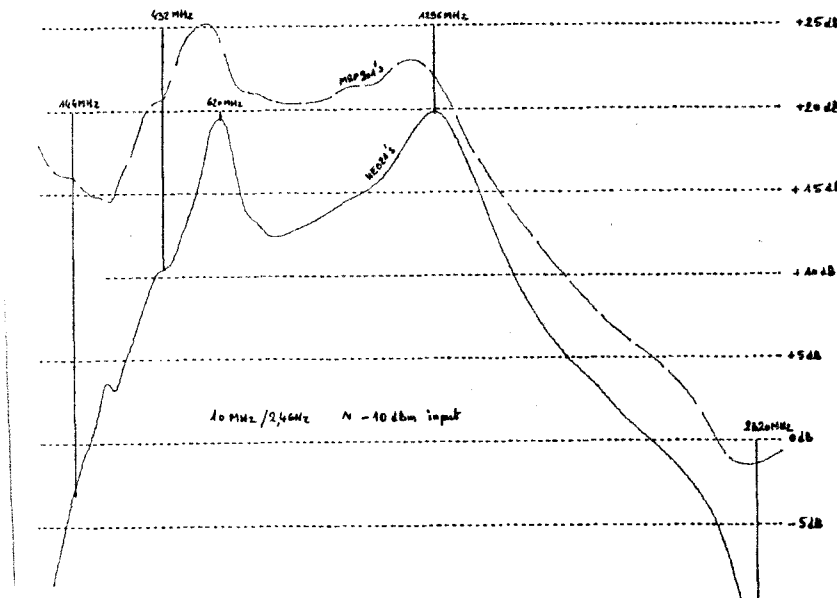


Fig. 1 SOURCE MATCH VSWR

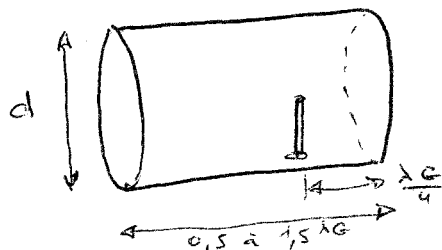


(*) un oscillateur ou un multiplicateur N & T !! par exemple!

COURBES DE LA PAGE 2 :



Ham-Radio (mai 1976 et mai 1982) fournit les exemples de calcul pour réaliser correctement l'attaque d'une source à guide rond par un probe situé à un quart d'onde du fond, de façon à ce que les signaux qui partent vers l'avant et ceux qui sont réfléchis par le fond arrivent en phase à la sortie (il s'agit bien sur de la longueur d'onde dans le guide)



$$\lambda G = \frac{\lambda}{\sqrt{1 - \left(\frac{\lambda}{1.7d}\right)^2}}$$

avec
 $1.3\lambda < d < 1.7\lambda$

Tout cela est très bien, et par chance, les boîtes d'anesthésique font un diam. de 85mm et une longueur de 80 mm ce qui convient très bien : deux boîtes soudées ensemble avec un probe à 75 mm du fond et le tour est joué. viennent les essais :

- le return-loss ne peut pas dépasser 15db malgré toutes les manips de taille et diamètre du probe.

- lorsqu'e l'on promène une pièce métallique à l'extérieur de la boîte, il se passe des choses curieuses et le return-loss varie énormément

- si l'on entoure la bouche de la source avec un matériau absorbant, on note une nette amélioration du return-loss

- en promenant un dipole et une diode à la bouche de la source, on s'aperçoit que le point où le champ est max. se situe à quelque distance de l'ouverture alors qu'il devrait décroître régulièrement.

Première conclusion: la source n'est pas assez longue.

Que cela ne tienne, un rapide bricolage et me voilà muni d'un cylindre qui peut coulisser autour de la source: les résultats sont immédiats et vers 24cm de longueur totale, ce qui tombe bien car cela fait trois boîtes soudées, la plupart des problèmes sont résolus:

- le return loss est plus grand que 25db et le réglage de la longueur du probe devient facile; de plus sa longueur en fonction de son diamètre est voisine de la longueur théorique. (0.2λ pour $d = 4$ mm)

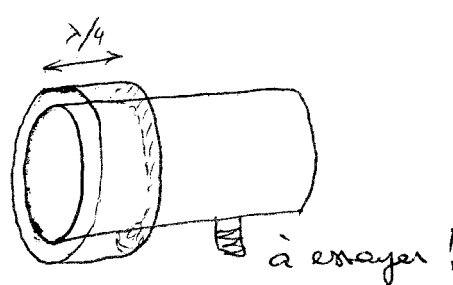
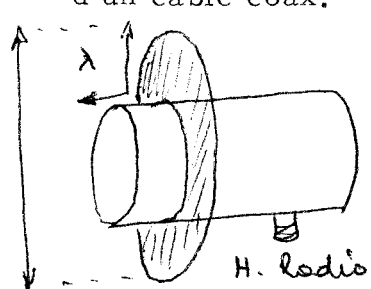
- le champ décroît régulièrement à partir de la bouche de la source

- les variations causées par une pièce métallique promenée autour de la bouche existent toujours, mais bien plus faibles.

Causes possibles:

Le passage entre le guide et l'air se fait par hasard, en effet, d'après Ham-Radio l'impédance d'un guide de ces dimensions est voisine de 400 ohms, et il faudrait une transition conique pour un meilleur couplage avec l'air (voir OZ9CR) une autre solution semble plus facile à réaliser: disque entourant la source par contre cela fait un obstacle assez sérieux si la parabole n'est pas très grande Autre solution:

replier ce disque comme l'on voit souvent sur les sources "chapparal" pour TVRO cela ressemble aussi au bazooka destiné à éliminer le rayonnement extérieur d'un câble coax.



(13)

Compte-rendu des essais de mesure de gain d'antenne - FGFTN

Bur: Compte-tenu du manque d'expérience dans ce domaine particulier des mesures, on a cherché à dégager les moyens nécessaires à la mesure du gain d'une antenne.

- Seule a été envisagée, dans un premier temps, la mesure du gain et sans le diagramme de rayonnement de l'antenne mesurée.

- Il a été convenu de faire appel à des moyens professionnels en essayant toutefois, dans l'avenir, leur substitution par du matériel amateur.

- Trois bandes "amateur" ont été fixées 1300 MHz, 2300 MHz et 10 GHz.

Matériel utilisé: Récepteur amplitude Scientific -Atlanta 1710
Cornets de référence Narda 1/2 644-645

Principe de mesure:

Une source d'émission large bande (cornet large bande 1-12 GHz *) a été utilisée en polarisation verticale et peut coulisser verticalement le long du mat porteur. Le générateur utilisé est un webulotateur Ferrel en fonction CW mono fréquence. Sa puissance de sortie est de l'ordre de 20 dBm et le coaxial utilisé est le modèle KX4 de longueur 10 m environ.

Un système de réception est situé à une distance L du cornet d'émission ($L \approx \frac{2D^2}{\lambda}$) de sorte que le plan d'onde soit bien établi (D diamètre de l'antenne).

Ce système se compose d'un mat triangulaire de 3 m équipé d'un système universel de fixation d'antenne - (hauteur 1 m, il porte, soit l'antenne de référence (cornet étalon Narda), soit l'antenne à mesurer).

Réultats des mesures

La polarisation horizontale, initialement utilisée, n'a donné que des mesures imprécises. En effet, le fait de couliser le cornet d'émission entre 3 m et 6 m environ, a mis en évidence un fading de mesure trop important (quelques dB à 20 dB suivant l'antenne à mesurer). Il est dû aux réflexions multiples sur le sol.

* IEEE Transactions on antennas and propagation Sept 73

"Short Axial Length Broad-band Horns" par John L. Kerr

la polarisation verticale n'a pas mis en évidence
des fading de plus de 3 dB entre minimum et maximum
de champ reçu - Elle a été retenue pour les mesures -

Le cornet de référence Narda 664 étant inexploitable sur 1300 MHz,
 il a été envisagé d'utiliser un cornet ridge de provenance TH-CSF.
 Son gain n'ayant pas été mesuré précédemment, a été évalué par
 deux méthodes -

- 1) Les points à -3dB du rayonnement dans les deux plans E et H ont donné les angles d'ouverture α_E et α_H -

La relation suivante donne une valeur approchée du gain

$$G_{\text{dB}} = 10 \log \left[\frac{25000}{\alpha_E \cdot \alpha_H} \right]$$

$$G_{\text{dB}} = 11,3 \text{ dB}$$

- 2) La deuxième méthode consiste à effectuer l'intégration du diagramme de rayonnement (intégrale double) en supposant la séparation des variables en θ et ϕ .
 Cette approximation n'est exacte que si le diagramme est parfaitement de révolution autour de l'axe de l'antenne ou tout au moins admet un plan de symétrie passant par l'axe de l'antenne.

Sa valeur est

$$G'_{\text{dB}} = 11,2 \text{ dB}$$

(Elle est la plus souvent optimiste)

Conclusion - les mesures les moins précises (ou plus exactement les plus fausses !) ont été effectuées sur 1,3 GHz, où manifestement, le manque de cornet étalon de référence entraîne une incertitude de gain de la référence estimée à $\pm 0,8$ dB - A cela s'ajoute les incertitudes de mesure sur les antennes à mesurer (celle de référence et celle à tester) - L'erreur globale pourrait se situer à $\pm 1,5$ dB au moins sur 2,3 GHz et $\pm 2,5$ dB sur 1,3 GHz - Il est nécessaire d'utiliser une configuration de mesure où le fading de mesure sera réduit à $\pm 0,5$ dB max.

$$F = 2,3 \text{ GHz}$$

Antenne (Provenance)	Niveau mesuré (dB)	Niveau moyen (dB)	Valeur (dB) d'atténuateur pour la mesure	Gain/contrôle
Corner de référence b45 NARDA	-7,5	-9,5	-8,4	0 dB
Corner ridge' TH-CSF (FFFTN) (enrich EM)	* -13,5	-14,5	-14,0	17,0 dB
Parabole 60cm (F8CN)	-6	-7	-6,5	-5,6 dB
loop Yagi (F1EIT)	-5,5	-6,5	-6,0	1,1 dB
NBS X (F1EIT)	-6	-8	-6,9	+1,9 dB (théorique 2,1,2 dB)
douge loop CO (F1EIT)	-6,5	-8	-7,2	+2,4 dB

$$F = 1,3 \text{ GHz}$$

Corner de référence TH-CSF **	-13,5	-15,5	-14,4	0 dB
9'5 éléments F9FFT	-4,5	-5,0	-4,7	+9,7 dB
4 x 23 él ^s F9FFT comparé à 1 x 23 él ^s				5,5 dB

* N.B: sur 2,3 GHz, le gain dans le lobe principal empirique est +11,0 dB
celui par intégration, donne +12,5 dB

** N.B: sur 1,3 GHz, la puissance des deux lobes secondaires à -6 dB et à ± 40° du lobe principal entraîne une surestimation du gain due au effet de réflexion d'un moins à venir 2 dB - Toutes les mesures de gain à 1,3 GHz sont donc optimistes de cette valeur (15)

ATTÉNUEMENT EN FONCTION DE DISTANCE-FRÉQUENCE >

D/F	144	432	1296	2300	5760	10000	24000
1	75,8	54,8	34,1	44,4	187,8	111,8	119,4
2	81,8	58,5	38,1	48,1	118,8	117,8	125,4
4	97,8	66,5	42,1	51,1	119,1	123,8	131,4
16	105,8	104,5	44,1	53,0	127,8	131,8	139,4
26	101,8	116,5	48,1	52,1	132,8	137,8	145,4
40	107,8	116,6	48,1	51,1	131,1	142,8	151,4
100	115,8	124,5	52,1	53,8	147,8	151,8	159,4
200	121,8	138,5	54,1	54,8	155,8	157,8	165,4
400	130,8	134,4	54,8	54,8	156,8	161,8	169,8
400	127,8	136,5	56,1	55,1	158,1	163,8	171,5
500	129,8	138,5	54,8	54,8	158,8	161,8	169,8
750	132,8	142,5	51,8	51,8	164,5	169,8	176,8
1250	137,8	144,5	54,1	53,8	167,8	171,8	179,4
2000	141,8	158,5	56,1	55,1	173,8	177,8	185,4
4000	147,8	156,6	56,1	55,1	179,1	183,8	191,5
8000	150,8	162,5	57,1	57,1	185,1	189,8	197,5
15000	153,1	168,6	58,1	58,1	191,1	195,8	203,5
30000	165,1	174,5	64,2	64,2	197,1	201,8	209,5

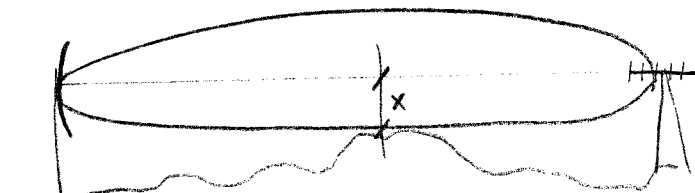
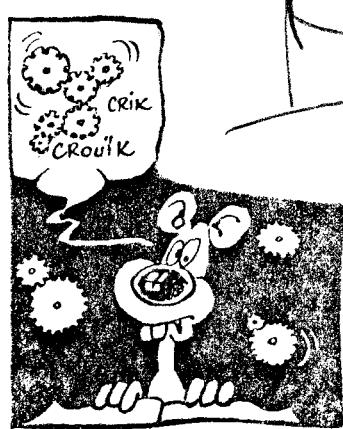
Tableau donnant la perte de propagation en champs libre en fonction de la distance et de la Fréquence . Exemple : 200km sur 1296 Mhz \rightarrow 140,1dB

DEMI-PETIT RAYON D'ELLIPSOÏDE DE FRESEL (M)
FONCTION <DISTANCE (KM)-FREQUENCE (MHZ)>

D/F	144	432	1296	2300	5760	10000	24000
1	16	9	5	4	3	3	4
2	28	16	8	6	4	4	6
4	56	19	11	8	5	5	8
4	46	26	15	11	7	7	11
16	72	46	24	16	11	11	16
26	102	59	34	26	16	16	21
40	144	86	48	36	23	17	31
100	228	132	76	57	36	27	51
200	323	166	108	61	51	39	75
300	395	228	132	99	63	47	91
400	456	264	152	114	72	55	97
500	510	295	170	128	81	61	103

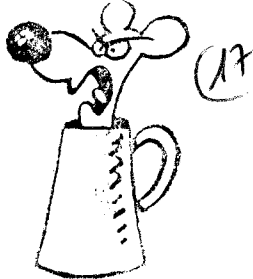
Exemple : 100km - 1296 Mhz
 $x = 76$ m

(Ajouter à cela la hauteur des obstacles + courbure terrestre)



Jean Pierre
Piano





17

La Page Ga-économique

Encore de quoi rejoindre ceux qui ont le culte du Houblon !

Le Cop à la Bière

ingrédients: 1 gros cop de 3 Kg ; 300gr d'échalotes ; 1,5 litre de bière brune ou 1/2 Bière (Jusquin par exemple) ; 75gr de farine ; 1 décilitre d'huile ; 100gr de crème fraîche ; 80gr de beurre 100gr de moutarde ; 0,5 décilitre d'alcool degénérée (genievoise schiedam) ; Bouquet garni ; sel ; poivre ; quelques tranches de pain de campagne (fait avec de la vraie farine)

préparation: découper la Bête en morceaux, faire revenir les morceaux dans une cocotte sur toutes leurs faces avec l'huile, sortir les morceaux de cop quand ils ont pris une belle teinte, puis faire revenir les échalotes hachées, les laisser dorer, remettre les morceaux de cop et saupoudrer de la farine, renverser mouiller avec la bière (1,3L), saler, poivrer, ajouter le bouquet garni et laisser cuire à couvert pendant 2 heures.

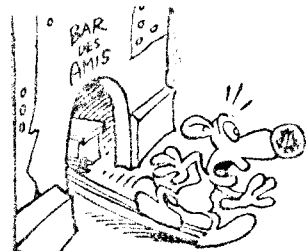
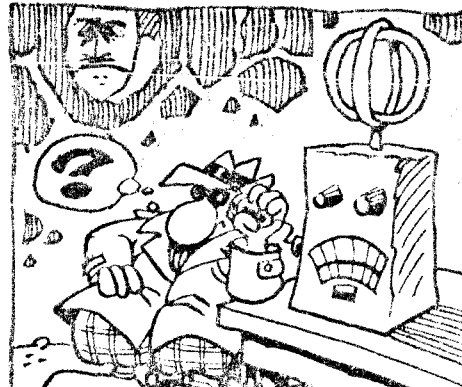
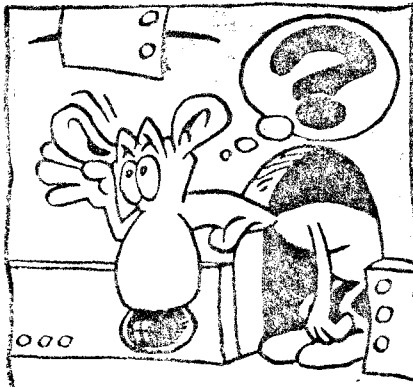
Retirer le cop de la cocotte et mettre les morceaux au chaud, passer la soupe au chinois et faire réduire à feu vif, éumer la soupe, ajouter la crème fraîche, le genièvre et 0,2 L. de bière, porter à ébullition, éumer de nouveau, laisser cuire 10mn.

Faire fondre le beurre dans une poêle, et faire dorer les tranches de pain sur les 2 faces, râper des tranches de pain de moutarde et mettre le reste de moutarde dans la soupe.

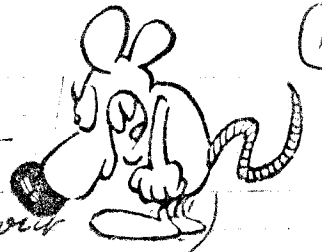
Dresser le cop dans le plat de service chaud, napper de soupe et poser un morceau de pain sur chaque morceau.

Servir avec des pommes vapeur.

et... bonne guen le à Table ! ..



La Page Ga - Gérontonomique



Cette fois ci - pas de recette à base de Bière (tant pis pour moi)
Mais la recette est bien du Nord, région gastronomique méconnue.

Le Flan aux pommes déchiré Nord

ingrédients: 300gr de pâte feuilletée (surgelée pour les fainéants); 2kg de pommes à chair ferme; 100gr de sucre; 200gr de beurre; 100gr de poudre d'amandes; 2 œufs; de l'extrait de vanille; du sucre glace, de la farine.

pour la crème pâtissière: 1 litre de lait; 6 œufs; 200gr de sucre; 100gr de farine; 1 sachet de sucre vanillé; 10gr de beurre; sel.

préparation: commençons par la crème pâtissière : fouetter 5 jaunes d'œufs avec le sucre jusqu'à ce que ce dernier soit fondu, ajouter la farine tamisée, mélanger, ajouter le dernier œuf entier, battre le tout au fouet pour que le mélange émulsionne. Faire d'autre part bouillir le lait avec le sucre vanillé et une pincée de sel et le verser sur le mélange tout en fouettant, porter le tout sur le feu et donner 2 ou 3 bouillons sans cesser de remuer, laisser refroidir.

Eplucher les pommes, ôter les pépins coupez les en quartiers.

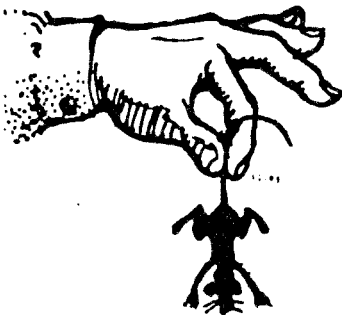
Étaler la pâte sur la table farinée en formant une tourtière à bords hauts, napper la pâte avec la moitié de la crème, disposer les quartiers de pomme et renapper avec le reste de crème puis ensuite avec le mélange suivant: 100gr de poudre d'amande, 2 œufs entiers, 100gr de beurre fondu, 100gr de sucre en poudre, 1 à 2 gouttes d'extrait de vanille.

Sousoudre massivement le tout avec du sucre glace (5mm. d'épaisseur) arroser le tout avec le reste de beurre fondu et mettre au four chaud (250° ou th.N°7) pendant 45 mn.

Daniel, qui, comme chacun sait, n'aime pas les desserts, demandera à FLN de lui fournir une bouteille de vouvroy moelleux pour accompagner ce flan.



petites annonces



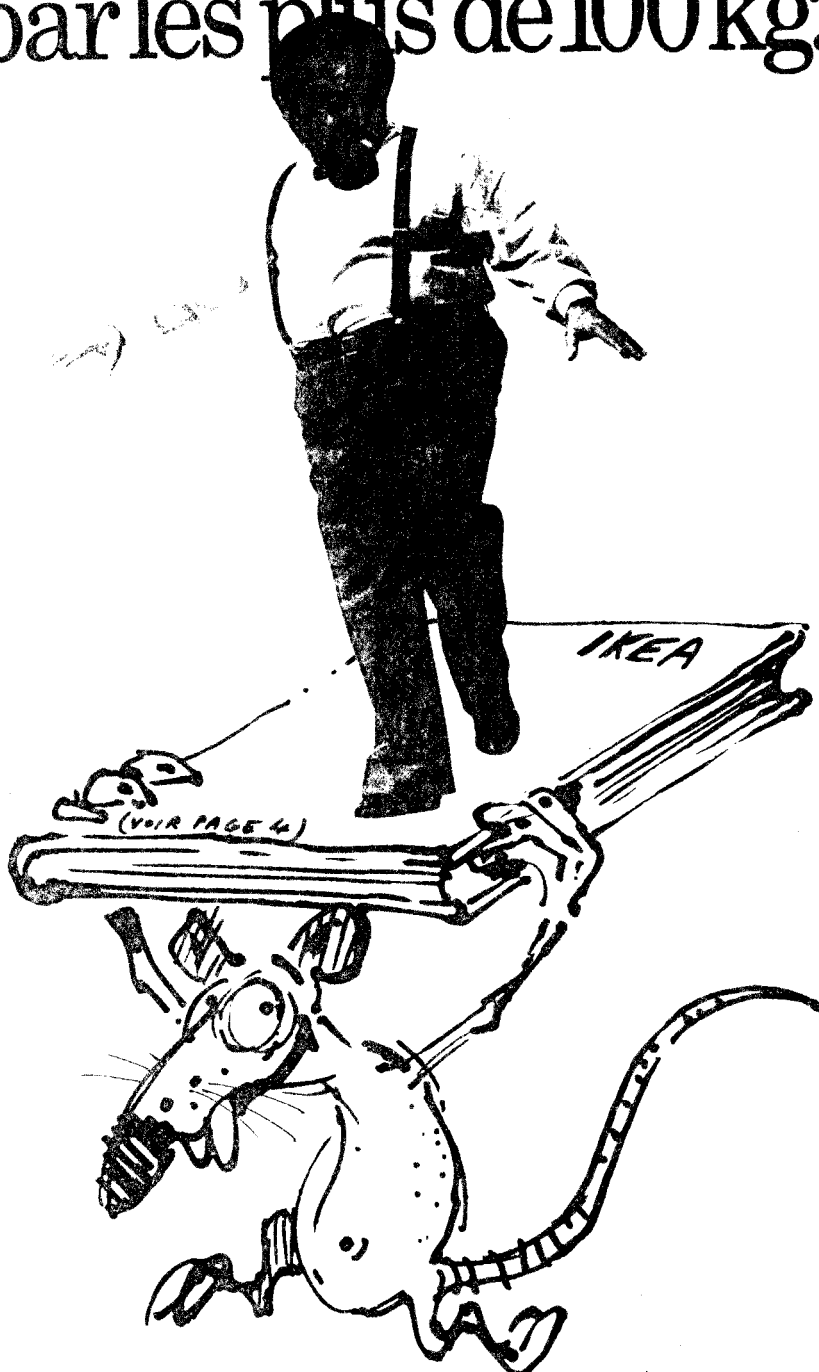
- F6KFN/P vds KX14 - s'adresser F1FHR
- F6KFN/P vds auto 144 et complexe $\sqrt{4 \times 9 E1s}$ 75Ω ^{coax}
S'adresser F1EIT
- F1COW cherche binoculaire (microscope stéréo-scopique). PRIX raisonnable.
- WANTED all technical infos on Al₂O₃¹³² precision test receiver (before 1968) F1EIT

DANS LE PROCHAIN NUMÉRO

(FEVRIER 86 ??!!)

- encore plein d'antennes (des fasciations)
- doubleurs à droite Schottky large bande UHF - SHF
- sans date quelques préamplis et autres cheires d'invasion UHF ...

Testé et approuvé par les plus de 100kg.



HURC INFOS

Boîte Postale 4

92240 MALAKOFF